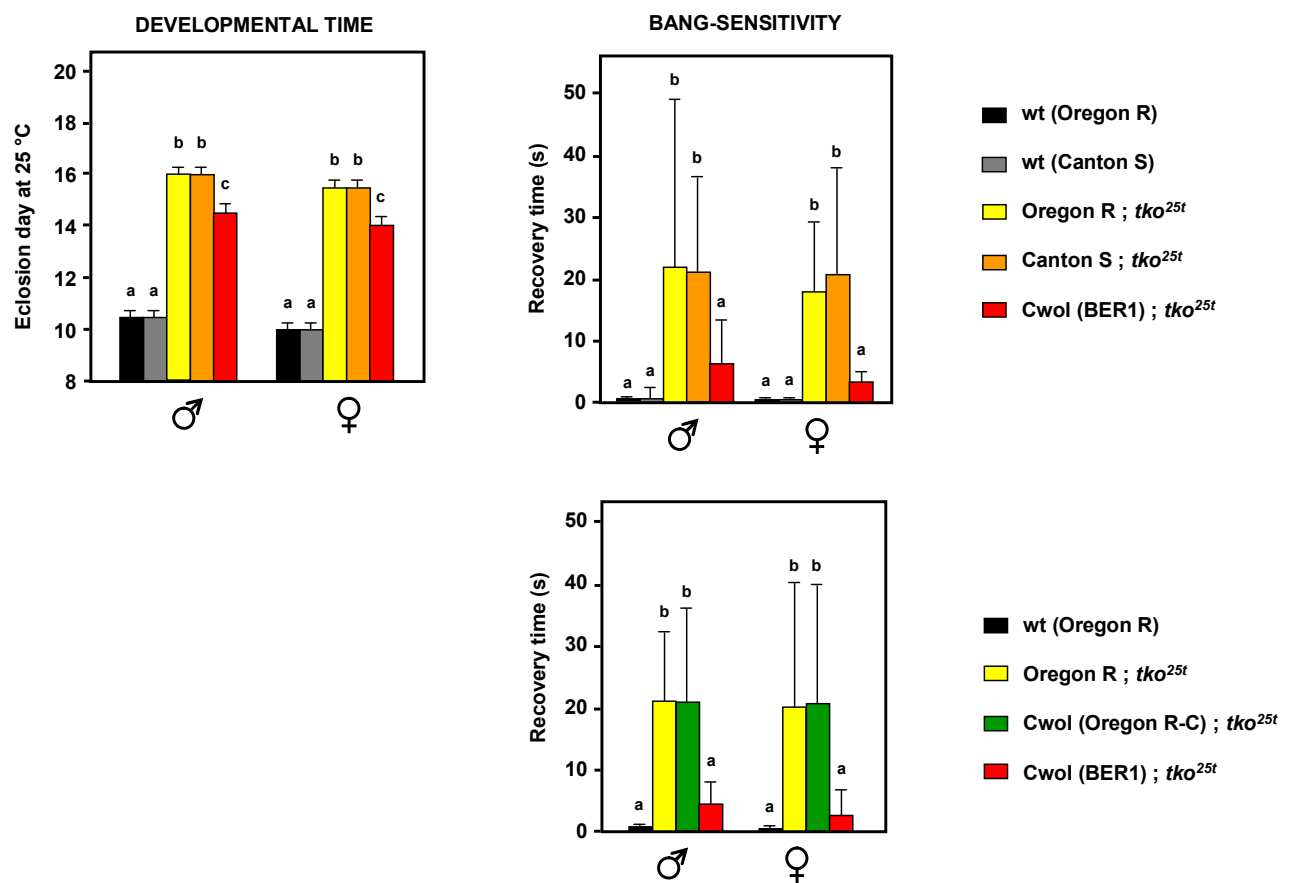
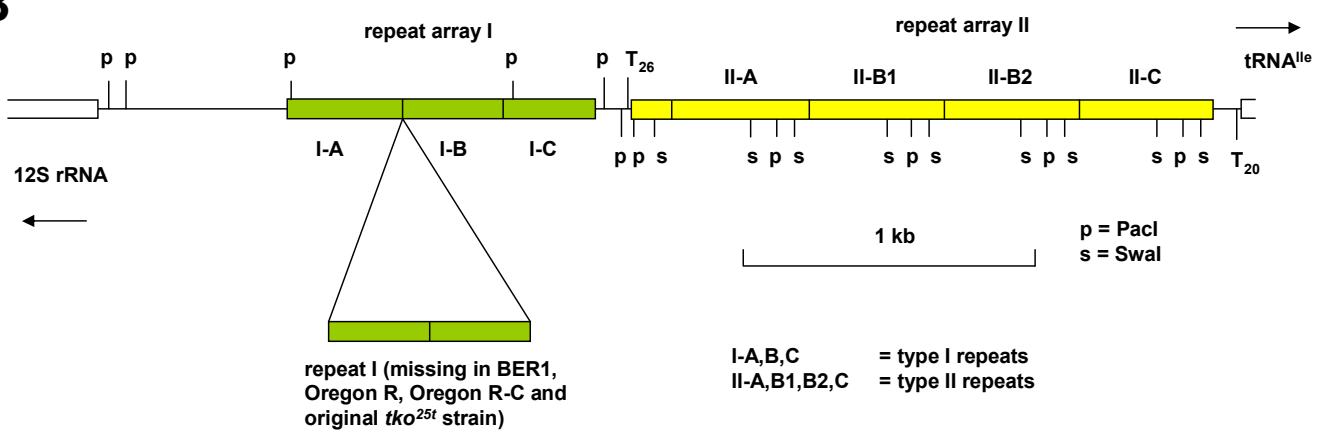
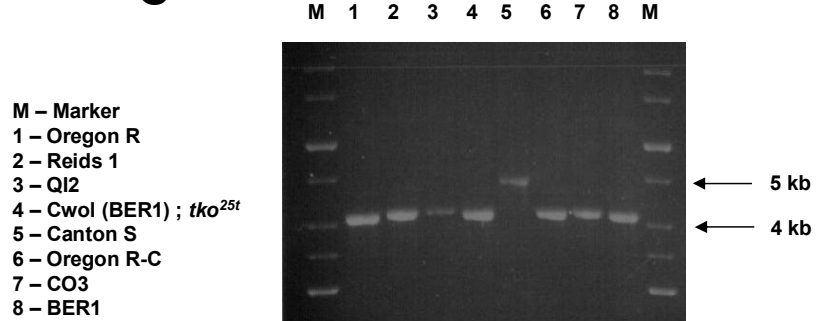
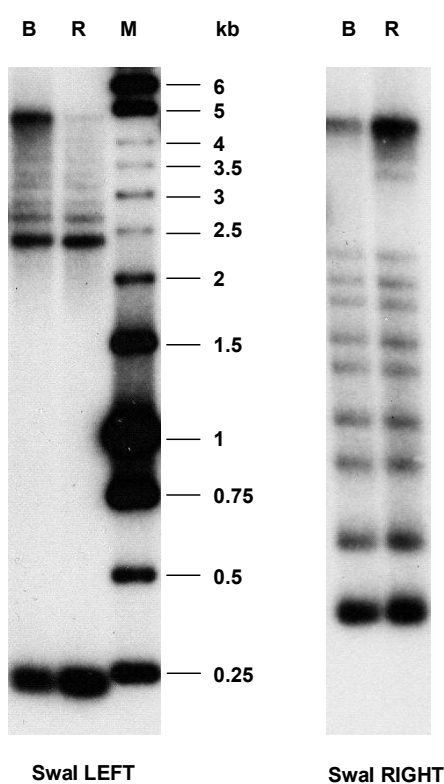
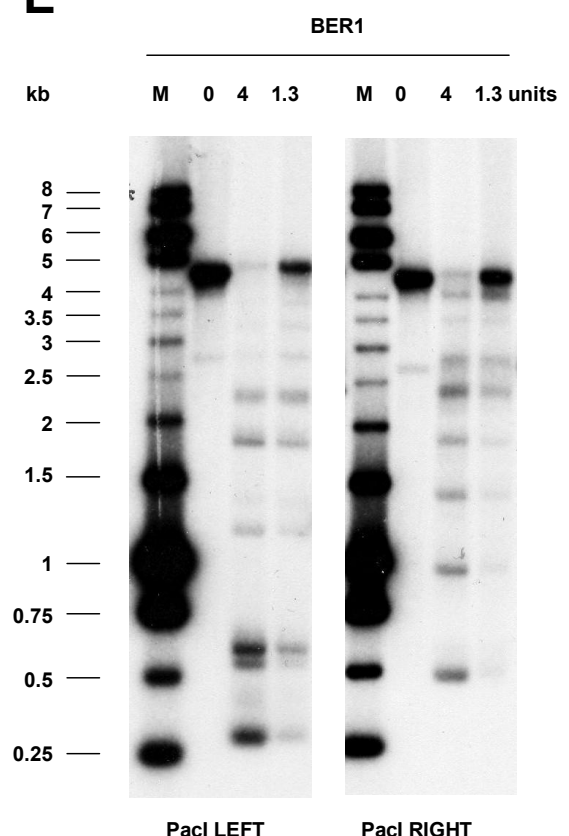


A

B**C**

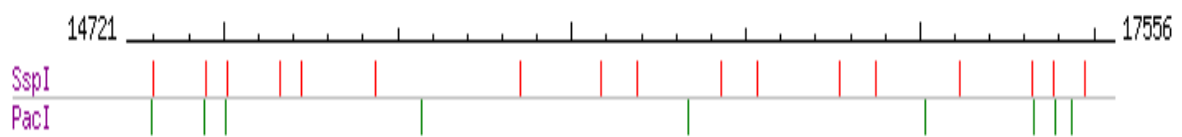
D

B - BER1
R - Oregon R
M - marker

E

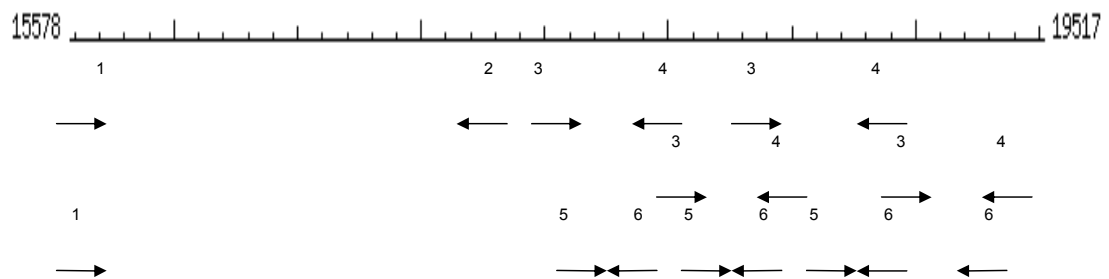
F

type I repeats



G

type II repeats



H

Black = Refseq (NCBI accession NC_001709)
Blue = tko25t (original mtDNA background, NCBI accession JQ686693)
Red = BER1 (NCBI accession JQ686694)
turquoise background = differences from Refseq; numbering as Refseq

14917	ATTTTTTATTGGATTTTATTAAATAAATTAATAATTAAAATTTATAAAAGAAAAATTAAATTTAATTAAATTTAA ATTTTTATTGGATTTTATTAAATAAATTAATAATTAAAATTTATAAAAGAAAAATTAAATTTAATTAAATTTAA GTTTTATTGGATTTATTAAATAAATTAATAATTAAAATTTATAAAAGAAAAATTAAATTTAATTAAATTTAA
15017	ATAATTAAATTATAATAAAATTTCATATTATAATAATATAAAATTTCATAATTATAATAATATAAAATTTCATA ATAATTAAATTATAATAAAATTTCATATTATAATAATATAAAATTTCATAATTATAATAATATAAAATTTCATA ATAATTAAATTATAATAAAATTTCATATTATAATAATATAAAATTTCATAATTATAATAATATAAAATTTCATA
15117	TTTTAAAAAAAATAATTAAACAAAAAAATAATTCAAAATTAAATAATAAAATTTCATAATTAAATAAAATTTCATA TTTTAAAAAAAATAATTAAACAAAAAAATAATTCAAAATTAAATAATAAAATTTCATAATTAAATAAAATTTCATA TTTTAAAAAAAATAATTAAACAAAAAAATTTCATAAAATTAAATAATAAAATTTCATAATTAAATAAAATTTCATA
15217	TTTAAAAATATTTTTTTAAAA--AAAAATTTCATAAAATTTCATAAAATTTCATAAAATTTCATAAAATTTCATA TTTAAAAATATTTTTTTAAAA--AAAAATTTCATAAAATTTCATAAAATTTCATAAAATTTCATAAAATTTCATA TTTAAAAATATTTTTTTAAAAATTTCATAAAATTTCATAAAATTTCATAAAATTTCATAAAATTTCATA
15315	ACTAAAAAAA-TTTTTTTTAAGTATTAAACATTTCATAAAATTTCATAAAATTTCATAAAATTTCATA ACTAAAAAAAATTTCATAAAATTTCATAAAATTTCATAAAATTTCATAAAATTTCATAAAATTTCATA ACTAAAAAAAATTTCATAAAATTTCATAAAATTTCATAAAATTTCATAAAATTTCATAAAATTTCATA
15412	AAAAAAATGAAAATTATAATAAAATATTTCATA-ACAAAAAATGAAAATTTCATAATTTCATA AAAAAAATGAAAATTATAATAAAATATTTCATA-ACAAAAAATGAAAATTTCATAATTTCATA AAAAAAATGAAAATTATAATAAAATATTTCATAACAAAAAATGAAAATTTCATAATTTCATA
15510	AAAGTAATAATTATAAAATCAATATAATTATAATAAAATTGATTATAATTAAATTACGAATAATAAAATTATA AAAGTAATAATTATAAAATCAATATAATTATAATAAAATTGATTATAATTAAATTACGAATAATAAAATTATA AAAGTAATAATTATAAAATCAATATAATTATAATAAAATTGATTATAATTAAATTACGAATAATAAAATTATA

15610	ATCACTAAATCTGAAAATAATTAA--TATATATATATATATATATACATATATATATACATAAATAAAAAATAAAATTATTC ATCACTAAATCTGAAAATAATTATATATATATATATATACACACATAAATAAAAAATAAAATTATTC ATCACTAAATCTGAAAATAATTAAATTATATATATATATATATATAATAAATAAATAAAAAATAAAATTATTC
15708	CCCTATTCTATAATTATATAATTAAACTTAAAAGTATTTTTTAAAAAAA-TTATTTATTAAATTACTTAATAAACTATTTTATAAT CCCTATTCTATAATTATATAATTAAACTTAAAAGTATTTTTTATTAAAAAAATTATTTATTAAATTACTTAATAAACTATTTTATAAT CCCTATTATAAATTATATAATTAAACTTAAAATTATTTTTTAAAAAAAATTATTTATTAAATTACTTAATAAACTATTTTATAAT
15807	AAATTATTTATAAATAAAATTATTTAAAATAATTAAAGAAATATTTTATTATAATAAAATAATTTTAAAAATTCAATTATAA--TT AAATTATTTATAAATAAAATTATTTAAAATAATTAAAGAAATATTTTATTATAATAAAATAATTTTAAAAATTAAATTATAA--TT AAATTATTTATAAATAAAATTATTTAAAATAATTAAATAAAATTATTTTATTCTAAATAAAAATTATTTAAAAATTAAATTATTTATAATT
15905	TATATATATATATATATATA-----ATTTAATTTT-CATTAAA-TTATATAATATAATAAAATAATTATTTAATCACTAAATCTGAAA TATATATATATATATA-----ATTTAATTTT-CATTAAA-TTATATAATATAATAAAATAATTATTTAATCACTAAATCTGAAA TATATATATATATATATAATTATA-----ATTTTAAATTTCGATGAAA-TTATCTAAATATAATAAAATAATTCTAAATCACTAAATCTGAAA
15993	TAATTAAATTATATATATATATATA--TAAAAAAATGAAAATAAAATTATCCCTATTCTATAAAATTATGTATAATTAAACTTAAAAAATT TAATTAAATTATATATATATATATA-----TAAAAAAATGAAAATAAAATTATCCCTATTCTATAAAATTATGTATAATTAAACTTAAAAAATT TAATTAAATTATATATATATATATA--TA-----TAAATGAAAATAAAATTATCCCTATTCTATAAAATTATGTATAATTAAACTTAAAAAATT
16091	TTTTTTTAAAAAAATGATTATTAAATTATACTTAATAAAACTATTTTATAATAAAATTATTTATAATAAAATTATTTAAATAATTAAATAA TTTTTTTAAAAAAATGATTATTAAATTATACTTAATAAAACTATTTTATAATAAAATTATTTATAATAAAATTATTTAAATAATTAAATAA TTTTTTTAAAAAAATTATTATTAAATTATACTTAATAAAACTATTTTATAATAAAATTATTTATCTAAATAATTATTTAAATAATTAAATAA
16190	TATTTTAATATAATAAAATTAAAATGTTTTA-TAAAATTCAATTCTATATTTATATATAC-----ATATAATTAAATTTCATTAA TATTTTAATATAATAAAATTAAAATGTTTTA-TAAAATTCAATTCTATATTTATATATATAATAATTATAATTAAATTTC TATTTTAACATAATAAAATTAAAATGTTTTATTATTAAATTCTATATTTATATATATAATAATTATAATTTC
16283	ATTATATAAGTATAATAAAATTATTAAATTCACTAAATCTGAATTAAATTGTATATATATATATATATGTAAAATGAAAATAAAT

17946	TAATATATATATATAGAAAAATTAAATTATTTAATAATTAAATATAAATTTTAAAAATTCTTAAATGTATTATTTTATAAAAATATTAT TAATATATATATATAGAAAAATTAAATTATTTAATAATTAAATATAAATTTTAAAAATTCTTAAATGTATTATTTTATAAAAATATTAT TAATATATATATATAGAAAAATTAAATTATTTAATAATTAAATATAAATTTT
18046	ATAATAAAATCATGTTTTAAAAAATAAACAAAAATTAAATAAAATTTATAATGAAATAATTATTTCAATTTTTAAAAAAT ATAATAAAATCATGTTTTAAAAAATAAACAAAAATTAAATAAAATTTATAATGAAATAATTATTTCAATTTTTAAAAAAT ATAATAAAATCATGTTTTAAAAAATAAACAAAAATTAAATAAAATTTATAATGAAATAATTATTTCAATTTTTAAAAAAT
18146	TTTTAAAAAAATAATTTTTTAAAAAAACTATACTAATTAAATAAGATATTATATATAAAATTTAATAATTATATA TTTTAAAAAAATAATTTTTTTAAACAAAAACTATACTAATTAAATAAGATATTATATATAAAATTTAATAATTATATA TTTTAAAAAAATAATTTTTTTAAACAAAAACTATACTAATTAAATAAGATATTATATATAAAATTTAATAATTATATA
18246	T-CTAATAATTAAATAAAATTAAATAAAATTTAAATTTAAAAATGTAGATATAATTATAAAATTATTCATATTATTTATTATAATTAAATTATATA T-CTAATAATTAAATAAAATTAAATAAAATGTAGATATAATTATAAAATTATTCATATTATTTATTATAATTAAATTATATA T-CTAATAATTAAATAAAATTAAATAAAATGTAGATATAATTATAAAATTATTCATATTATTTATTATAATTAAATTATATA
18345	AAATAATATAATGATTAAATTAAATTATTATATAAAATTATATTAAATTTATATTGAATATTATATAATTATATAATTATATAATTAAATTAT AAATAATATAATGATTAAATTAAATTATTATATAAAATTATATTGAATATTATATAATTATATAATTATATAATTAAATTAT AAATAATATAATGATTAAATTAAATTATTATATAAAATTATATTGAATATTATATAATTATATAATTAAATTATATAATTAAATTAT
18445	TAAAATAATTAAATATAAAATTTTAAAAATTCTTAAATGTATTATTTATAAAAATTATTAATAAAATCATGTTTTAAAAAATAACAAAA TAAAATAATTAAATATAAAATTTTAAAAATTCTTAAATGTATTATTTATAAAAATTATATAATAAAATCATGTTTTAAAAAATAACAAAA TAAAATAATTAAATATAAAATTTTAAAAATTCTTAAATGTATTATTTATAAAAATTATATAATAAAATCATGTTTTAAAAAATAACAAAA
18545	AATTTTAATAAAATTATAATGAAATAATTATTTCAATTTTTAAAAATTCTTAAATGTATTATTTATAAAAATTATATAATAAAATCATGTTTTAAAAAATAACAAAA AATTTTAATAAAATTATAATGAAATAATTATTTCAATTTTTAAAAATTCTTAAATGTATTATTTATAAAAATTATATAATAAAATCATGTTTTAAAAAATAACAAAA AATTTTAATAAAATTATAATGAAATAATTATTTCAATTTTTAAAAATTCTTAAATGTATTATTTATAAAAATTATATAATAAAATCATGTTTTAAAAAATAACAAAA
18645	CTATATACTAATTATAAAATTAAATAGATATTATATAATAAAATTAAATATAATTATATA-CTAATAATTAAATAAAATTAAATTAA CTATATACTAATTATAAAATTAAATAGATATTATATAATAAAATTAAATATAATTATATA-CTAATAATTAAATAAAATTAAATTAA CTATATACTAATTATAAAATTAAATAGATATTATATAATAAAATTAAATATAATTATATA-CTAATAATTAAATAAAATTAAATTAA

Figure S4 NCR structure and phenotypes conferred by mtDNAs of different *D. melanogaster* strains. (A) Phenotypic characterization of *tko*^{25t} flies in the Canton S and Oregon R mtDNA backgrounds, as indicated showing both to be fully of the non-suppressor type. a, b and c denote significantly different data classes (Newman-Keuls test, $p < 0.05$, based on ANOVA, $p < 0.001$, each sex considered separately). (B) Summary map of the NCR of different strains, based on crude length determination of the NCR-containing long PCR product (DsmtD4s/ DsmtD4as) by agarose gel electrophoresis (C), restriction mapping (D,E) and DNA sequencing (F), and showing the restriction sites used in mapping. All strains studied, apart from Canton S, were found to have the 'short' NCR morph (Panel C). Partial restriction digestion (D, E) and complete sequencing (F-H) revealed that this morph contains only three copies of repeat I, rather than the 5 seen in the 'long' morph of the reference sequence (LEWIS *et al.* 1994). (D), (E) Neutral PAGE of the NCR-containing PCR product of strains BER1 and Oregon R, labeled as described in Supplementary Materials and Methods to create sub-fragments labeled at the right (tRNA-ile) or left (SSU rRNA) ends as indicated, then digested with the restriction enzymes shown (4 u, except where indicated), alongside labeled size markers. The separate sub-panels of (D) and (E) each represent sets of non-adjacent lanes from a single gel. (F, G) Sequencing strategy for the NCR, showing restriction sites in repeat array I used for cloning, and repeated priming sites for PCR in repeat array II. Primers are denoted as follows: 1 - Dm15578F, 2 - Dm17295R, 3 - Dm17556F, 4 - Dm18026, 5 - Dm17717F, 6 - Dm17833R (H) Aligned sequences of the NCR of suppressor strain BER1 and the original *tko*^{25t} non-suppressor strain, numbered according to the reference sequence (Refseq) and color-coded as indicated. Gaps indicated by dashes.